

# Aproximando Equações Diferencial Ordinárias pelo Método de Galerkin

João Victor Lopez Pereira

8 de setembro de 2024

Rio de Janeiro - RJ

## Resumo

Este documento apresenta a resolução de um sistema genérico de equações diferenciais ordinárias utilizando o Método de Galerkin, conforme abordado nas aulas da disciplina *Introdução ao Método dos Elementos Finitos*, ministradas pelos professores Dr. Marcello Goulart Teixeira e Dr. Bruno Alves do Carmo na Universidade Federal do Rio de Janeiro, durante o segundo semestre de 2024.

This document presents the solution of a generic system of ordinary differential equations using the Galerkin Method, as covered in the course *Introduction to the Finite Element Method*, taught by professors Dr. Marcello Goulart Teixeira and Dr. Bruno Alves do Carmo at the Federal University of Rio de Janeiro, during the second half of 2024.

# Sumário

<b>1</b>	<b>Resolvendo uma EDO pelo Método de Galerkin</b>	<b>2</b>
1.1	Formulação Forte . . . . .	2
1.2	Formulação Fraca . . . . .	2
1.3	Problema Aproximado pelo Método de Galerkin . . . . .	4
1.4	Matriz e Vetor Locais . . . . .	4
1.4.1	Cálculo da Matriz Local por Quadratura Gaussiana . . . . .	5
1.4.2	Cálculo do Vetor Local por Quadratura Gaussiana . . . . .	7
1.4.3	Inicialização da Matriz . . . . .	7
1.5	Teste Realizado . . . . .	8
	<b>Bibliografia</b>	<b>11</b>

# Capítulo 1

## Resolvendo uma EDO pelo Método de Galerkin

### 1.1 Formulação Forte

Dado uma função  $f(x)$  e constantes  $\alpha$ ,  $\beta$  e  $\gamma$ , queremos encontrar a função  $u(x)$  tal que:

$$\begin{cases} -\alpha u_{xx}(x) + \beta u(x) + \gamma u_x(x) = f(x) \\ u(0) = u(1) = 0 \end{cases}$$

### 1.2 Formulação Fraca

Visto que:

$$-\alpha u_{xx}(x) + \beta u(x) + \gamma u_x(x) = f(x)$$

Podemos multiplicar ambos os lados por uma função

$$v(x), \text{ tal que } v(1) = v(0) = 0$$

que nos ajude a eliminar a segunda derivada em  $u_{xx}$ :

$$\begin{aligned}
f(x) &= -\alpha u_{xx}(x) + \beta u(x) + \gamma u_x(x) \\
f(x)v(x) &= [-\alpha u_{xx}(x) + \beta u(x) + \gamma u_x(x)] v(x) \\
f(x)v(x) &= -\alpha u_{xx}(x)v(x) + \beta u(x)v(x) + \gamma u_x(x)v(x) \\
\int_0^1 f(x)v(x)dx &= \int_0^1 [-\alpha u_{xx}(x)v(x) + \beta u(x)v(x) + \gamma u_x(x)v(x)] dx \\
\int_0^1 f(x)v(x)dx &= \int_0^1 -\alpha u_{xx}(x)v(x)dx + \int_0^1 \beta u(x)v(x)dx + \int_0^1 \gamma u_x(x)v(x)dx
\end{aligned}$$

Sabemos, por cálculo, que:

$$\int f(x)g'(x)dx = f(x)g(x) - \int f'(x)g(x)dx$$

Logo, realizando a integração por partes no primeiro termo na equação:

$$\begin{aligned}
\int_0^1 f(x)v(x)dx &= -\alpha \left[ u_x(x)v(x) \Big|_0^1 - \int_0^1 u_x(x)v_x(x)dx \right] + \int_0^1 \beta u(x)v(x)dx + \int_0^1 \gamma u_x(x)v(x)dx \\
\int_0^1 f(x)v(x)dx &= -\alpha \left[ (u_x(1)v(1) - u_x(0)v(0)) - \int_0^1 u_x(x)v_x(x)dx \right] + \int_0^1 \beta u(x)v(x)dx + \int_0^1 \gamma u_x(x)v(x)dx \\
\int_0^1 f(x)v(x)dx &= -\alpha \left[ \cancel{(u_x(1)v(1) - u_x(0)v(0))} - \int_0^1 u_x(x)v_x(x)dx \right] + \int_0^1 \beta u(x)v(x)dx + \int_0^1 \gamma u_x(x)v(x)dx \\
\int_0^1 f(x)v(x)dx &= \alpha \int_0^1 u_x(x)v_x(x)dx + \beta \int_0^1 u(x)v(x)dx + \gamma \int_0^1 u_x(x)v(x)dx
\end{aligned}$$

Seja  $H$  um espaço tal que  $\forall u \in H$  suficientemente suave, tal que  $u(0) = u(1) = 0$ ,  $u$  é solução do sistema. Seja  $V$  um espaço finito tal que  $\forall v \in V$  suficientemente suave, tal que  $v(0) = v(1) = 0$  é espaço das funções de teste. Nesse caso em específico,  $H = V$ .

Precisamos determinar  $u \in H$  tal que:

$$\alpha \int_0^1 u_x(x)v_x(x)dx + \beta \int_0^1 u(x)v(x)dx + \gamma \int_0^1 u_x(x)v(x)dx = \int_0^1 f(x)v(x)dx$$

$$\forall v \in V$$

### 1.3 Problema Aproximado pelo Método de Galerkin

O método de Galerkin consiste em aproximar o espaço das soluções por um subespaço de dimensão finita.[2] Sendo assim:

Seja  $H^h$  um espaço finito tal que  $\forall u^h \in H^h$  suficientemente suave, tal que  $u(0) = u(1) = 0$ ,  $u_h$  é solução do sistema. Seja  $V^h$  um espaço finito tal que  $\forall v^h \in V^h$  suficientemente suave, tal que  $v(0) = v(1) = 0$  é espaço das funções de teste. Nesse caso em específico,  $H^h = V^h$ .

Precisamos determinar  $u^h \in H^h$  tal que:

$$\forall v^h \in V^h$$

$$\int_0^1 f(x)v^h(x)dx = \alpha \int_0^1 u_x^h(x)v_x^h(x)dx + \beta \int_0^1 u^h(x)v^h(x)dx + \gamma \int_0^1 u_x^h(x)v^h(x)dx$$

Seja

$$u^h(x) \approx \sum_{j=1}^m \varphi_j(x)c_j$$

Logo, a sua derivada será

$$u_x^h(x) \approx \sum_{j=1}^m \frac{d(\varphi_j(x)c_j)}{dx} = \sum_{j=1}^m \frac{d\varphi_j(x)}{dx}c_j + \frac{dc_j}{dx}\varphi_j(x) = \sum_{j=1}^m \frac{d\varphi_j(x)}{dx}c_j + \cancel{\frac{dc_j}{dx}\varphi_j(x)} = \sum_{j=1}^m \frac{d\varphi_j(x)}{dx}c_j$$

Veja que  $\frac{dc_j}{dx}$  é cancelado pois  $c_j$  é uma constante.

Substituindo em nossa equação:

$$\begin{aligned} \int_0^1 f(x)v^h(x)dx &= \alpha \int_0^1 \sum_{j=1}^m \frac{d\varphi_j(x)}{dx}c_jv_x^h(x)dx + \beta \int_0^1 \sum_{j=1}^m \varphi_j(x)c_jv^h(x)dx + \gamma \int_0^1 \sum_{j=1}^m \frac{d\varphi_j(x)}{dx}c_jv^h(x)dx \\ \int_0^1 f(x)v^h(x)dx &= \sum_{j=1}^m \left[ \alpha \int_0^1 \frac{d\varphi_j(x)}{dx}c_jv_x^h(x)dx + \beta \int_0^1 \varphi_j(x)c_jv^h(x)dx + \gamma \int_0^1 \frac{d\varphi_j(x)}{dx}c_jv^h(x)dx \right] \end{aligned}$$

$\forall v^h(x) = \varphi_i(x)$ ,  $i \in [1, m]$ , obtemos um sistema linear tal que  $\mathbb{K}\mathbb{C} = \mathbb{F}$  tal que  $\mathbb{C} \in \mathbb{R}^m$ .

### 1.4 Matriz e Vetor Locais

Para  $i, j \in [1, m]$  tais que  $i$  e  $j$  correspondam aos índices da matriz:

$$K_{i,j} = \alpha \int_0^1 \frac{d\varphi_i(x)}{dx} \frac{d\varphi_j(x)}{dx} dx + \beta \int_0^1 \varphi_i(x) \varphi_j(x) dx + \gamma \int_0^1 \varphi_i(x) \frac{d\varphi_j(x)}{dx} dx$$

$$F_i = \int_0^1 f(x) \varphi_i(x) dx$$

Definiremos  $\varphi_i(x)$  como:

$$\varphi_i(x) = \begin{cases} \frac{x - x_{i-1}}{h}, & \forall x \in [x_{i-1}, x_i] \\ \frac{x_{i+1} - x}{h}, & \forall x \in [x_i, x_{i+1}] \\ 0, & \forall x \notin [x_{i-1}, x_{i+1}] \end{cases}$$

Observe que a função base  $\varphi_i(x)$  é escolhida intencionalmente para facilitar os cálculos. Em particular, utilizamos funções lineares por partes, pois elas são suficientemente simples para nos permitir calcular as integrais de maneira eficiente e precisa, especialmente com métodos numéricos como a quadratura gaussiana.

Além disso,  $\varphi_i(x)$  é projetada para ser zero fora do intervalo  $[x_{i-1}, x_{i+1}]$ , o que significa que cada função base afeta apenas dois ou três pontos consecutivos. Essa escolha reduz significativamente a complexidade do sistema linear, já que a matriz resultante terá muitas entradas nulas. Isso nos ajuda a trabalhar com matrizes esparsas, que são computacionalmente mais eficientes, tanto em termos de armazenamento quanto de tempo de processamento.

#### 1.4.1 Cálculo da Matriz Local por Quadratura Gaussiana

$$K = \sum_{e=1}^{m+1} K^e$$

Observe que, pela definição de  $\varphi_i(x)$ ,  $K_{i,j}^e \neq 0$  quando  $i \in [x_{i-1}, x_{i+1}]$  e  $j \in [x_{i-1}, x_{i+1}]$ . Logo, podemos limitar nossa integral para esse intervalo visto que restante do intervalo resultará sempre em zero. Faremos isso utilizando a notação local para as funções da base.

$$K_{i,j}^e = \alpha \int_{x^{e-1}}^{x^e} \frac{d\varphi_i(x)}{dx} \frac{d\varphi_j(x)}{dx} dx + \beta \int_{x^{e-1}}^{x^e} \varphi_i(x) \varphi_j(x) dx + \gamma \int_{x^{e-1}}^{x^e} \varphi_i(x) \frac{d\varphi_j(x)}{dx} dx$$

$$K_{a,b}^e = \alpha \int_{x_1^{e-1}}^{x_2^e} \frac{d\varphi_a^e(x)}{dx} \frac{d\varphi_b^e(x)}{dx} dx + \beta \int_{x_1^{e-1}}^{x_2^e} \varphi_a^e(x) \varphi_b^e(x) dx + \gamma \int_{x_1^{e-1}}^{x_2^e} \varphi_a^e(x) \frac{d\varphi_b^e(x)}{dx} dx$$

Para podermos utilizar a Quadratura Gaussiana, precisaremos modificar nosso intervalo de  $[0, 1]$  para  $[-1, 1]$  visto que essa é a condição para o uso dessa técnica.

Seja  $x(\xi, e)$  a função que converte de  $\xi$  para  $x$  tal que

$$x(\xi, e) = \frac{h}{2}(\xi + 1) + x_{e-1}$$

$$\text{Seja } \phi_n(\xi) = \begin{cases} \frac{1-\xi}{2} & , \text{ se } n == 1 \\ \frac{1+\xi}{2} & , \text{ se } n == 2 \end{cases} \quad \text{e seja} \quad \frac{d\phi_n}{d\xi}(\xi) = \begin{cases} \frac{-1}{2} & , \text{ se } n == 1 \\ \frac{1}{2} & , \text{ se } n == 2 \end{cases}$$

tal que:

$$\phi_n(\xi) = \varphi_n^e(x(\xi, e))$$

$$\begin{aligned} K_{a,b}^e &= \alpha \int_{-1}^1 \frac{d\varphi_a^e(x(\xi, e))}{dx} \frac{d\varphi_b^e(x(\xi, e))}{dx} \frac{h}{2} d\xi + \beta \int_{-1}^1 \varphi_a^e(x(\xi, e)) \varphi_b^e(x(\xi, e)) \frac{h}{2} d\xi + \\ &+ \gamma \int_{-1}^1 \varphi_a^e(x(\xi, e)) \frac{d\varphi_b^e(x(\xi, e))}{dx} \frac{h}{2} d\xi \\ K_{a,b}^e &= \alpha \int_{-1}^1 \frac{d\phi_a}{d\xi}(\xi) \frac{d\phi_b}{d\xi}(\xi) \frac{h}{2} \frac{2}{h} \frac{2}{h} d\xi + \beta \int_{-1}^1 \phi_a(\xi) \phi_b(\xi) \frac{h}{2} d\xi + \gamma \int_{-1}^1 \phi_a(\xi) \frac{d\phi_b}{d\xi}(\xi) \frac{h}{2} \frac{2}{h} d\xi \\ K_{a,b}^e &= \alpha \int_{-1}^1 \frac{d\phi_a}{d\xi}(\xi) \frac{d\phi_b}{d\xi}(\xi) \frac{h}{2} \frac{2}{h} \frac{2}{h} d\xi + \beta \int_{-1}^1 \phi_a(\xi) \phi_b(\xi) \frac{h}{2} d\xi + \gamma \int_{-1}^1 \phi_a(\xi) \frac{d\phi_b}{d\xi}(\xi) \frac{h}{2} \frac{2}{h} d\xi \\ K_{a,b}^e &= \alpha \int_{-1}^1 \frac{d\phi_a}{d\xi}(\xi) \frac{d\phi_b}{d\xi}(\xi) \frac{2}{h} d\xi + \beta \int_{-1}^1 \phi_a(\xi) \phi_b(\xi) \frac{h}{2} d\xi + \gamma \int_{-1}^1 \phi_a(\xi) \frac{d\phi_b}{d\xi}(\xi) d\xi \\ K_{a,b}^e &= \frac{2\alpha}{h} \int_{-1}^1 \frac{d\phi_a}{d\xi}(\xi) \frac{d\phi_b}{d\xi}(\xi) d\xi + \frac{\beta h}{2} \int_{-1}^1 \phi_a(\xi) \phi_b(\xi) d\xi + \gamma \int_{-1}^1 \phi_a(\xi) \frac{d\phi_b}{d\xi}(\xi) d\xi \end{aligned}$$

Por termos definido  $\phi$  como uma função de primeiro grau, sabemos que o produto das  $\phi$ s será necessariamente uma função de segundo grau. Por isso, podemos usar a Quadratura Gaussiana como técnica de integração para calcular a integral com 2 pontos visto que dado  $n$  pontos, essa técnica consegue integrar polinômios de grau  $2n - 1$  sem erros:

$$\begin{aligned} K_{a,b}^e &= \frac{2\alpha}{h} \int_{-1}^1 \frac{d\phi_a}{d\xi}(\xi) \frac{d\phi_b}{d\xi}(\xi) d\xi + \frac{\beta h}{2} \int_{-1}^1 \phi_a(\xi) \phi_b(\xi) d\xi + \gamma \int_{-1}^1 \phi_a(\xi) \frac{d\phi_b}{d\xi}(\xi) d\xi \\ K_{a,b}^e &= \frac{2\alpha}{h} \sum_{j=1}^2 w_j \frac{d\phi_a}{d\xi}(p_j) \frac{d\phi_b}{d\xi}(p_j) + \frac{\beta h}{2} \sum_{j=1}^2 w_j \phi_a(p_j) \phi_b(p_j) + \gamma \sum_{j=1}^2 w_j \phi_a(p_j) \frac{d\phi_b}{d\xi}(p_j) \end{aligned}$$

Para simplificar, podemos definir

$$QG(h, N_{PG}) = \sum_{j=1}^{N_{PG}} w_j h(p_j)$$



Com isso:

$$K_{a,b}^e = \frac{2\alpha}{h}QG\left(\frac{d\phi_a}{d\xi}\frac{d\phi_b}{d\xi}, 2\right) + \frac{\beta h}{2}QG(\phi_a\phi_b, 2) + \gamma QG\left(\phi_a\frac{d\phi_b}{d\xi}, 2\right)$$

#### 1.4.2 Cálculo do Vetor Local por Quadratura Gaussiana

$$F = \sum_{e=1}^{m+1} F^e$$

Observe que, pela definição de  $\varphi$ ,  $F_i^e \neq 0$  quando  $i \in [e-1, e]$ . Logo, assim como fizemos com  $K_{i,j}^e$ , podemos limitar nossa integral para esse intervalo visto que restante do intervalo resultará sempre em zero. Faremos isso utilizando a notação local para as funções da base.

$$F_a^e = \int_0^1 f(x)\varphi_i(x)dx$$

$$F_a^e = \int_{x_1^e}^{x_2^e} f(x)\varphi_a^e(x)dx$$

$$F_a^e = \int_{-1}^1 f(x(\xi, e))\varphi_a^e(x(\xi, e))\frac{h}{2}d\xi$$

$$F_a^e = \frac{h}{2} \int_{-1}^1 f(x(\xi, e))\phi_a(\xi)d\xi$$

Por fim, podemos aproximar essa integral a partir da Quadratura Gaussiana. Diferente da última vez, não sabemos a definição da função  $f$ . Sendo assim, usaremos 5 pontos como aproximação:

$$F_a^e = \frac{h}{2} \sum_{j=1}^5 w_j f(x(p_j, e))\phi_a(p_j)$$

$$F_a^e = \frac{h}{2} QG(f(x(\xi, e))\phi_a(\xi), 5)$$

#### 1.4.3 Inicialização da Matriz

Visto que sabemos montar a matriz  $K$  a partir de  $K_{a,b}^e$  e o vetor  $F$  a partir de  $F_a^e$ , podemos calcular os coeficientes. Tínhamos um código para resolver o sistema:

$$-\alpha u_{xx}(x) + \beta u(x) = f(x)$$

Portanto, com a mudança desse sistema para:

$$-\alpha u_{xx}(x) + \beta u(x) + \gamma u_x(x) = f(x)$$

A única coisa que precisamos fazer é inicializar uma variável **gamma** e também inserir  $\left(\gamma QG\left(\phi_a \frac{d\phi_b}{d\xi}, 2\right)\right)$  na inicialização de nossa matrix  $K_e$ :

```
function init_Ke_matrix(ne)
    h = 1 / ne
    Ke = zeros(2,2)

    for a in 1:2
        for b in 1:2
            Ke[a,b] = (alpha * 2 / h) * gaussian_quadrature((qsi) -> d_phi(a, qsi) *
                d_phi(b, qsi), 2) + (beta * h / 2) * gaussian_quadrature((qsi) ->
                phi(a, qsi) * phi(b, qsi), 2) + gamma * gaussian_quadrature((qsi) ->
                d_phi(b, qsi) * phi(a, qsi), 2)
        end
    end

    return Ke
end
```

## 1.5 Teste Realizado

Para testarmos o procedimento, precisamos primeiro escolher uma função  $u(x)$  que satisfaça  $u(0) = u(1) = 0$ . Também precisamos definir valores para  $\alpha$ ,  $\beta$  e  $\gamma$ . Nesse caso em específico, selecionamos valores arbitrários somente para testes:

```
# Variables
alpha = 1                # constant value
beta = 1                 # constant value
gamma = 1                # constant value
u = (x) -> sin(pi * x)
```

Em seguida, podemos calcular o valor esperado para a função  $f(x)$  para que possamos calcular o erro do nosso método.  $f(x)$  precisa necessariamente satisfazer:

$$f(x) = -\alpha u_{xx}(x) + \beta u(x) + \gamma u_x(x)$$

Sendo assim:

$$f(x) = -\alpha u_{xx}(x) + \beta u(x) + \gamma u_x(x)$$

$$f(x) = -\alpha(\sin(\pi x))_{xx} + \beta \sin(\pi x) + \gamma(\sin(\pi x))_x$$

$$f(x) = -\alpha(\pi \cos(\pi x))_x + \beta \sin(\pi x) + \gamma \pi \cos(\pi x)$$

$$f(x) = -\alpha \pi^2(-\sin(\pi x)) + \beta \sin(\pi x) + \gamma \pi \cos(\pi x)$$

$$f(x) = \alpha \pi^2 \sin(\pi x) + \beta \sin(\pi x) + \gamma \pi \cos(\pi x)$$

Logo:

```
f = (x) -> alpha*pi^2 * sin(pi*x) + beta*sin(pi*x) + gamma*pi*cos(pi*x)
```

Sendo assim, ao rodarmos como código com o número de elementos variando de 1 até 131071 ( $2^1 - 1$  até  $2^{17} - 1$ ), obtemos os seguintes gráficos:

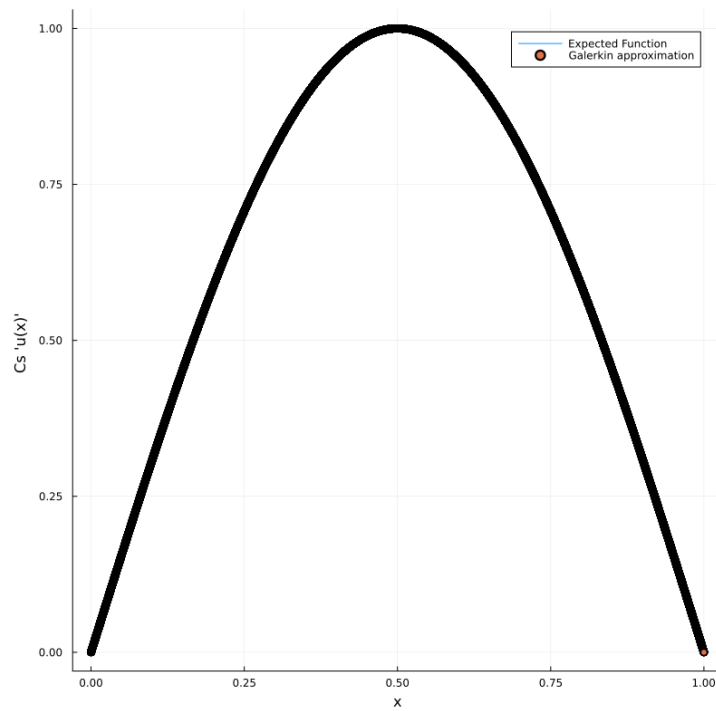


Figura 1.1: Gráfico que mostra a função original e nossos pontos aproximados por cima (Não é possível ver ambos muito bem pois o número de pontos está bem alto).

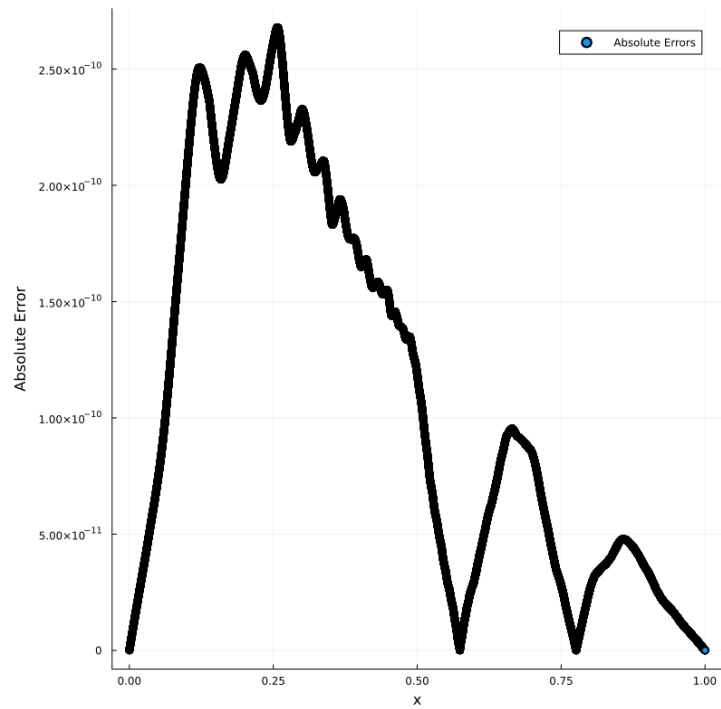


Figura 1.2: Gráfico que mostra a distância no eixo  $y$  para cada ponto encontrado pelo nosso método em comparação com a função original.

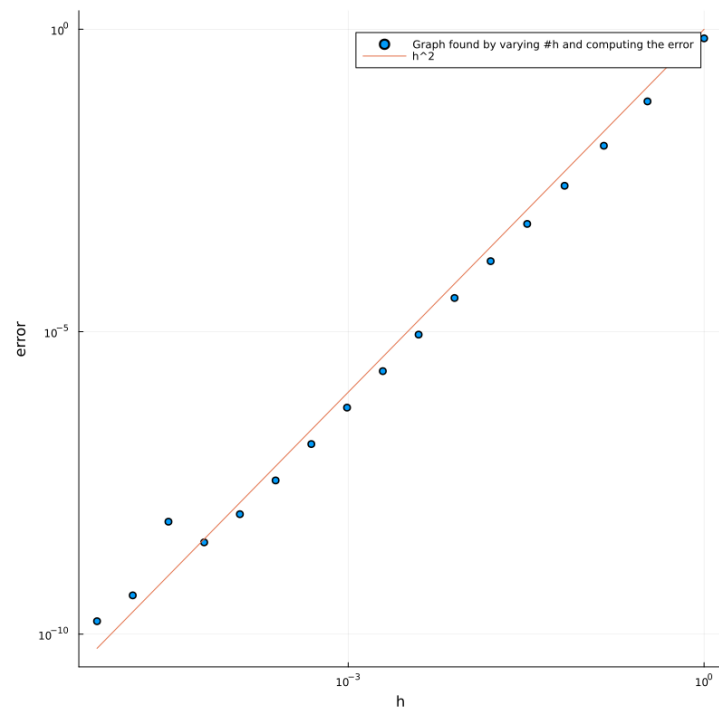


Figura 1.3: Gráfico que mostra os erros conforme o número de elementos varia.

# Bibliografia

- [1] Bruno Alves do Carmo. *Problema Estacionario Unidimensional*. Acessado em 7 de Setembro de 2024. URL: <https://github.com/bacarmo/Problema-estacionario-unidimensional>.
- [2] Mauro A. Rincon e Waldecir Bianchini I-Shih Liu. *Introdução ao Método de Elementos Finitos*. Instituto de Matemática, UFRJ, p. 183. ISBN: 978-65-86502-00-8.